

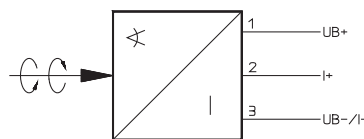
Drehwinkelmeßumformer - potentiometrisch Angle of rotation transducers - potentiometer Type Transducteur de valeur angulaire - système potentiométrique

Typ PD

- **Anwendung**
Potentiometrische Drehwinkelmeßumformer dienen der Fernübertragung von Messwerten. Das Ausgangssignal ist analog dem Istwertzeiger des Messgerätes. Gegen starke Erschütterungen wirkt eine in Saphirlagern arbeitende Schleiferachse. 8-12 Kontaktpunkte sichern eine sehr gute Messwertübertragung. Die Verwendung von Dämpfungsflüssigkeit im Messgerät ist möglich
- **Service intended**
Potentiometric transmitters are used for remote letransmission of measuring values and apply the voltage division principle. The output signal is analog to the instrument pointer. A drive shaft moving on sapphire jewel bearings protects against strong vibration. 8 to 12 contact points give a very good contact. The use of damping liquid in the case is possible.
- **Utilisation**
Les transmetteurs potentiométriques servent à la transmission de données de mesure à distance. Le signal de sortie est analogue à l'aiguille indicatrice de l'appareil de mesure. Contre de fortes vibrations on utilise un axe de curseur guidé par des saphirs artificiels. De 8 à 12 point de contact assurent une bonne transmission des valeurs de mesure. L'utilisation d'un liquide d'amortissement dans l'appareil de mesure est possible.



Technische Daten	Technical Data	Caractéristiques techniques
Widerstandswerkstoff	Resistance material	Matière de la résistance
Au-Legierung	Gold alloy	Alliage d'or
Schleiferwerkstoff	Wiper arm material	Matière du curseur
Au-Legierung	Gold alloy	Alliage d'or
Wicklungsträger	Winding carrier	Support du bobinage
gefaßter Kupferlackdraht	Copper wire, varnished	Fil de cuivre laqué, serti
Versorgungsspannung	Service voltage	Alimentation
$U_B = 23 \dots 30 \text{ V DC}$	$U_B = 23 \dots 30 \text{ V DC}$	$U_B = 23 \dots 30 \text{ V DC}$
Restwelligkeit der Betriebsspannung	Residual supply voltage ripple	Ondulation de l'alimentation
$2,5 \text{ V}_{SS}$	$2,5 \text{ V}_{SS}$	$2,5 \text{ V}_{SS}$
Stromaufnahme	Current consumption	Consommation
ca. $16 \text{ mA} + I_A$	Approx. $16 \text{ mA} + I_A$	Environ $16 \text{ mA} + I_A$
Ausgangssignal	Output signal	Signal de sortie
$I_A = 0 \dots 20 \text{ mA}$ bzw. $4 \dots 20 \text{ mA}$	$I_A = 0 \dots 20 \text{ mA}$ or $4 \dots 20 \text{ mA}$	$I_A = 0 \dots 20 \text{ mA}$ or $4 \dots 20 \text{ mA}$
Reststrom $\leq 10 \mu\text{A}$	Residual current: $\leq 10 \text{ A}$	Courant résiduel $\leq 10 \text{ A}$
Restwelligkeit $\leq 0,3 \%$	Residual output ripple: $\leq 0,3 \%$	Reste d'ondulation $\leq 0,3 \%$
Bürde	Load	Charge
bei $U_B = 24 \text{ V}$ $0 \dots 750 \Omega$	$U_B = 24 \text{ V}$ $0 \dots 750 \Omega$	$U_B = 24 \text{ V}$ $0 \dots 750 \Omega$
Leistungsaufnahme	Ratings	Consommation
$P_{\text{max}} (80^\circ\text{C}) = 0,9 \text{ W}$	$P_{\text{max}} (80^\circ\text{C}) = 0,9 \text{ W}$	$P_{\text{maxi}} (80^\circ\text{C}) = 0,9 \text{ W}$
$P_{\text{max}} (\leq 60^\circ\text{C}) = 1,2 \text{ W}$	$P_{\text{max}} (\leq 60^\circ\text{C}) = 1,2 \text{ W}$	$P_{\text{maxi}} (\leq 60^\circ\text{C}) = 1,2 \text{ W}$
zulässige Temperaturen $T_{\text{min}} / T_{\text{max}}$	Permissible temperatures $T_{\text{min}} / T_{\text{max}}$	Température autorisées $T_{\text{min}} / T_{\text{max}}$
Lagertemperatur $-55 \dots +150^\circ\text{C}$	Storage temperature $-55 \dots +150^\circ\text{C}$	Stockage $-55 \dots +150^\circ\text{C}$
Betriebstemperatur $-25 \dots +80^\circ\text{C}$	Operating temperature $-25 \dots +80^\circ\text{C}$	Service $-25 \dots +80^\circ\text{C}$
Linearitätsfehler	Linearity error	Erreur de linéarité
$\pm 0,5 \%$	$\pm 0,5 \%$	$\pm 0,5 \%$
elektrischer Anschluss	Electrical connection	Raccord électrique
Kabeldose	terminal box	boîtier de raccordement
Bestell-Nr.	Order-Nr.	N° de commande
$0 \dots 20 \text{ mA}$: 370691	$0 \dots 20 \text{ mA}$: 370691	$0 \dots 20 \text{ mA}$: 370691
$4 \dots 20 \text{ mA}$: 370692	$4 \dots 20 \text{ mA}$: 370692	$4 \dots 20 \text{ mA}$: 370692



Anschlussbelegung,
Wiring details
raccordement

Stand: 6. 03. 2019